

КЛАССИФИКАЦИЯ КОШИ-РИМАНА ДВУМЕРНЫХ МНОГООБРАЗИЙ ЦЕНТРИРОВАННЫХ ПЛОСКОСТЕЙ В ЧЕТЫРЕХМЕРНОМ ЕВКЛИДОВОМ ПРОСТРАНСТВЕ

Е.Д. Глазырина

Томский политехнический университет
E-mail: glazirina@mail2000.ru

В четырехмерном евклидовом пространстве E_4 рассматривается двумерное многообразие $V_{2,2}^1$ плоскостей L_2^1 , в каждой из которых задано по одной точке A (центр плоскости). С этим многообразием ассоциируется двумерное многообразие $V_{2,2}^2$ плоскостей L_2^2 , ортогональных соответствующим плоскостям L_2^1 в точках A и являющихся оснащающими плоскостями многообразия $V_{2,2}^1$. Возникают отображения между соответствующими плоскостями $L_2^1 \in V_{2,2}^1$ и $L_2^2 \in V_{2,2}^2$, каждое из которых определяется системой двух неоднородных квадратичных функций с двумя неизвестными или соответствующей комплексной функцией. Выясняется геометрический смысл этих отображений и рассматриваются частные случаи, когда указанные функции являются дифференцируемыми в смысле Коши-Римана или Даламбера-Эйлера или гармоническими в некоторых или во всех точках соответствующих плоскостей L_2^1 или L_2^2 . Доказывается существование всех указанных частных случаев. Все рассмотрения носят локальный характер, а функции, встречающиеся в статье, предполагаются аналитическими.

1. Аналитический аппарат

Обозначения и терминология в данной статье соответствуют принятым в [1–8].

Рассматривается четырехмерное евклидово пространство E_4 , отнесенное к подвижному ортонормальному реперу $R = \{\bar{A}, \bar{e}_j\}$ ($j, k, l = 1, 2, 3, 4$) с производными формулами и структурными уравнениями:

$$\begin{aligned} d\bar{A} &= \omega^j \bar{e}_j, d\bar{e}_j = \omega_k^j \bar{e}_k, \\ D\omega^j &= \omega^k \wedge \omega_k^j, D\omega_k^j = \omega_k^l \wedge \omega_l^j. \end{aligned} \quad (1.1)$$

Здесь 1-формы ω_k^j удовлетворяют соотношениям

$$\omega_k^j + \omega_j^k = 0, \quad (1.2)$$

которые с учетом (1.1) вытекают из условия ортонормальности репера R :

$$\{\bar{e}_k, \bar{e}_j\} = \delta_{kj} = \begin{cases} 1, & k = j, \\ 0, & k \neq j, \end{cases}$$

где символом $\{\bar{a}, \bar{b}\}$ обозначается скалярное произведение векторов \bar{a} и \bar{b} пространства E_4 .

В пространстве E_4 рассматривается многообразие $V_{2,2}^1$ – двумерное многообразие центрированных двумерных плоскостей L_2^1 , в каждой из которых задано по одной точке M , называемой центром. К многообразию $V_{2,2}^1$ присоединим ортонормальный репер R так, чтобы

$$M = A, L_2^1 = (\bar{A}, \bar{e}_1, \bar{e}_2). \quad (1.3)$$

Здесь и в дальнейшем символом $L_p = (\bar{A}, \bar{e}_1, \dots, \bar{e}_p)$ обозначается p -плоскость (p -мерное линейное подпространство), проходящее через точку A параллельно линейно независимым векторам $\bar{e}_1, \bar{e}_2, \dots, \bar{e}_p$. Из (1.3) в силу (1.1) следует, что дифференциальные уравнения многообразия $V_{2,2}^1$ запишутся в виде:

$$\omega^\alpha = A_\alpha^\alpha \omega^\alpha, \omega_\alpha^\alpha = A_{\alpha\beta}^\alpha \omega^\beta, \quad (1.4)$$

($\alpha, \beta, \gamma = 1, 2; \hat{\alpha}, \hat{\beta}, \hat{\gamma} = 3, 4$). Здесь 1-формы ω^α приняты за базисные, а величины A_α^α и $A_{\alpha\beta}^\alpha$ удовлетворяют структурным уравнениям:

$$\begin{aligned} (dA_\alpha^\alpha - A_\beta^\alpha \omega_\alpha^\beta + A_\alpha^\beta \omega_\beta^\alpha) \wedge \omega^\alpha &= 0, \\ (dA_{\alpha\beta}^\alpha - A_{\gamma\beta}^\alpha \omega_\alpha^\gamma - A_{\alpha\gamma}^\alpha \omega_\beta^\gamma + A_{\alpha\beta}^\gamma \omega_\gamma^\alpha) \wedge \omega^\alpha &= 0. \end{aligned} \quad (1.5)$$

Замечание 1.1. Из (1.2), (1.3) и (1.4) следует, что

$$\omega_{\alpha}^{\alpha} = -\omega_{\alpha}^{\alpha} \Rightarrow \omega_{\alpha}^{\alpha} = A_{\alpha\beta}^{\alpha} \omega^{\beta}, A_{\alpha\beta}^{\alpha} = -A_{\alpha\beta}^{\alpha}; \quad (1.6)$$

геометрически это означает, что с многообразием $V_{2,2}^1$ в E_4 инвариантным образом ассоциируется двумерное многообразие $V_{2,2}^2$, элементом которого является плоскость L_2^3 , $A \in L_2^1$:

$$L_2^2 = (\bar{A}, \bar{e}_3, \bar{e}_4) \perp L_2^1. \quad (1.7)$$

2. Отображение $f_1: L_2^1 \rightarrow L_2^2$

Каждой точке $A \in E_4$ сопоставим отображение f_1 плоскостей L_2^1 и L_2^2 , которое каждую точку $X \in L_2^1$ с радиус-вектором

$$\bar{X} = \bar{A} + x^{\alpha} \bar{e}_{\alpha} \quad (2.1)$$

переводит в соответствующую точку $Y \in L_2^2$ с радиус-вектором

$$\bar{Y} = \bar{A} + y^{\alpha} \bar{e}_{\alpha}.$$

Это отображение определяется следующим образом:

$$f_1: L_2^1 \rightarrow L_2^2 \Leftrightarrow y^{\alpha} = A_{\alpha}^{\alpha} x^{\alpha} + B_{\alpha\beta}^{\alpha} x^{\alpha} x^{\beta}, \quad (2.2)$$

где величины $B_{\alpha\beta}^{\alpha}$ определяются по формулам

$$B_{\alpha\beta}^{\alpha} = \frac{1}{2} (A_{\alpha\beta}^{\alpha} + A_{\beta\alpha}^{\alpha}) \quad (2.3)$$

и в силу (1.5) удовлетворяют структурным уравнениям:

$$(dB_{\alpha\beta}^{\alpha} - B_{\gamma\beta}^{\alpha} \omega_{\alpha}^{\gamma} - B_{\alpha\gamma}^{\alpha} \omega_{\beta}^{\gamma} + B_{\alpha\beta}^{\beta} \omega_{\alpha}^{\alpha}) \wedge \omega^{\beta} = 0. \quad (2.4)$$

Заметим, что, отображение плоскостей L_2^1 и L_2^2 , отвечающее точке A , определяется двумя соответствующими функциями двух аргументов. Поэтому в соответствии с [6, с. 43–44] получаем, что каждое из указанных отображений определяется соответствующей комплекснозначной функцией:

$$f_1: L_2^1 \rightarrow L_2^2: w = f_1(z) = G_{01}z + G_{02}\bar{z} + 2G_{12}z\bar{z} + G_{11}z^2 + G_{22}\bar{z}^2, \quad (2.5)$$

где

$$\begin{aligned} G_{0\alpha} &= g_{0\alpha} + ih_{0\alpha}, G_{\alpha\beta} = g_{\alpha\beta} + ih_{\alpha\beta} = G_{\beta\alpha}, \\ 2g_{01} &= A_1^3 + A_2^4, 2h_{01} = A_1^4 - A_2^3, \\ 2g_{02} &= A_1^3 - A_2^4, 2h_{02} = A_2^3 + A_1^4, \\ 4g_{11} &= B_{11}^3 - B_{22}^3 + 2B_{12}^4, 4h_{11} = -2B_{12}^3 + B_{11}^4 - B_{22}^4, \\ 4g_{22} &= B_{11}^3 - B_{22}^3 - 2B_{12}^4, 4h_{22} = 2B_{12}^3 + B_{11}^4 - B_{22}^4, \\ 4g_{12} &= B_{11}^3 + B_{22}^3, 4h_{12} = B_{11}^4 + B_{22}^4. \end{aligned} \quad (2.6)$$

При этом плоскость L_2^1 объявляется комплексной плоскостью $(z)(z=x^1+ix^2, \bar{z}=x^1-ix^2)$, а плоскость L_2^2 считается комплексной плоскостью $(w)(w=y^3+iy^4)$. Заметим, что плоскость L_2^1 является областью определения функций (2.5), а плоскость L_2^2 — областью их значений.

Выясним геометрический смысл отображения $f_1: L_2^1 \rightarrow L_2^2$.

Рассмотрим кривую $K_0(t)$, описываемую точкой $A \in E_4$ и определяемую дифференциальными уравнениями:

$$K_0(t): \omega^{\alpha} = t^{\alpha} \Theta, D\Theta = \Theta \wedge \Theta_1. \quad (2.7)$$

Из (1.1) в силу (1.5) следует, что прямая

$$t = (\bar{A}, \bar{e}_{\alpha} + A_{\alpha}^{\alpha} \bar{e}_{\alpha}) t^{\alpha} \quad (2.8)$$

касается кривой $K_0(t)$ в точке A .

В силу (1.4, 1.7) и (2.8) замечаем, что прямая $\hat{t} = (\bar{A}, \bar{e}_{\alpha}) t^{\alpha}$ является $np_{L_2^1}^t$ — проекцией прямой t на плоскость L_2^1 в направлении плоскости L_2^2 .

Определение 2.1. Точка $X \in L_2^1$ с радиус-вектором (2.1), отвечающая точке $A \in E_4$, и кривая $K_0(t)$ называются соответствующими, если прямая AX параллельна прямой t .

Из (2.7, 2.8) и определения (2.1) замечаем, что точка $X \in L_2^1$ и кривая $K_0(t)$ будут соответствующими тогда и только тогда, когда

$$\frac{\omega^1}{x^1} = \frac{\omega^2}{x^2} \Leftrightarrow t^{\alpha} = \lambda x^{\alpha}, (\lambda \neq 0). \quad (2.9)$$

Из (2.1) в силу (1.1) и (1.4) получаем

$$d\bar{X} = (\dots)^{\alpha} \bar{e}_{\alpha} + (A_{\beta}^{\alpha} + x^{\alpha} A_{\alpha\beta}^{\alpha}) \omega^{\beta} \bar{e}_{\alpha}.$$

Поэтому в силу (2.3, 2.7, 2.8) и определения (2.1) прямая, определяемая векторным параметрическим уравнением

$$\bar{Y} = \bar{A} + \lambda y^{\alpha} \bar{e}_{\alpha}, \quad (2.10)$$

где y^{α} определяются по формулам (2.2), есть пересечение плоскости L_2^2 с трехмерным пространством, проходящим через плоскость L_2^1 и касательную к линии, описываемой точкой $X \in L_2^1$ вдоль соответствующей кривой $K_0(t)$ в смысле определения 2.1. При этом предполагается, что точка X не является фокусом плоскости L_2^1 в смысле [7], а кривая $K_0(t)$ не является соответствующей фокальной кривой. Таким образом, в силу (2.9) и (2.10) отображение $f_1: L_2^1 \rightarrow L_2^2$ геометрически характеризуется тем, что оно любую точку $X \in L_2^1$, отвечающую точке $A \in E_4$, переводит в прямую (2.8) в L_2^2 , проходящую через точки A и Y . Поэтому отображение f_1 определяется геометрически с точностью до ненулевого параметра λ .

3. Отображение $f_2: L_2^2 \rightarrow L_2^1$

Будем предполагать, что на многообразии $V_{2,2}^0$ величина

$$a \equiv A_1^3 A_2^4 - A_1^4 A_2^3 \neq 0 \quad (3.1)$$

в каждой точке $A \in E_4$. Тогда из (1.4) получаем

$$\omega^{\alpha} = B_{\alpha}^{\alpha} \omega^{\alpha}, \quad (3.2)$$

$$\text{где } B_3^1 = \frac{A_2^4}{a}, B_4^1 = -\frac{A_2^3}{a}, B_3^2 = -\frac{A_1^4}{a}, B_4^2 = \frac{A_1^3}{a}. \quad (3.3)$$

С помощью величин (3.3) и (1.6) построим величины

$$B_{\alpha\beta}^{\alpha} = \frac{1}{2} A_{\alpha\beta}^{\alpha} B_{\beta}^{\alpha}. \quad (3.4)$$

Из (1.5) с учетом (3.1–3.4) получаем, что величины B_{α}^{α} и $B_{\alpha\beta}^{\alpha}$ удовлетворяют квадратичным уравнениям:

$$\begin{aligned} (dB_{\alpha}^{\alpha} - B_{\beta}^{\alpha} \omega_{\alpha}^{\beta} + B_{\alpha}^{\beta} \omega_{\beta}^{\alpha}) \wedge \omega^{\alpha} &= 0, \\ (dB_{\alpha\beta}^{\alpha} - B_{\gamma\beta}^{\alpha} \omega_{\alpha}^{\gamma} - B_{\alpha\gamma}^{\alpha} \omega_{\beta}^{\gamma} + B_{\alpha\beta}^{\beta} \omega_{\alpha}^{\alpha}) \wedge \omega^{\beta} &= 0. \end{aligned}$$

Величины (3.3) и (3.4) определяют отображение $f_2: L_2^1 \rightarrow L_2^1$, которое в точке $Y \in L_2^1$ с радиус-вектором $\vec{Y} = \vec{A} + y^{\hat{\alpha}} \vec{e}_{\hat{\alpha}}$ сопоставляет точку $X \in L_2^1$ с радиус-вектором (2.1), по формуле:

$$f_2: L_2^1 \rightarrow L_2^1: x^{\alpha} = B_{\beta}^{\alpha} y^{\hat{\beta}} + B_{\hat{\alpha}\hat{\beta}}^{\alpha} y^{\hat{\alpha}} y^{\hat{\beta}} \quad (3.5)$$

Как и во втором пункте показывается, что отображение (3.5) определяется комплекснозначной функцией вида:

$$f_2: z = f_2(w) = G_{03}w + G_{04}\bar{w} + 2G_{34}w\bar{w} + G_{33}w^2 + G_{44}\bar{w}^2, \quad (3.6)$$

где

$$\begin{aligned} 2G_{03} &= (B_3^1 + B_4^2) + i(B_3^2 - B_4^1), \quad i^2 = -1, \\ 2G_{04} &= (B_3^1 - B_4^2) + i(B_3^2 + B_4^1), \\ 4G_{33} &= (B_{33}^1 - B_{44}^1 - 2B_{34}^1) + i(-2B_{34}^2 + B_{33}^2 - B_{44}^2), \\ 4G_{44} &= (B_{33}^1 - B_{44}^1 + 2B_{34}^1) + i(2B_{34}^2 + B_{33}^2 - B_{44}^2), \\ 4G_{34} &= (B_{33}^1 + B_{44}^1) + i(B_{33}^2 + B_{44}^2). \end{aligned} \quad (3.7)$$

Заметим, что геометрическая интерпретация отображения (3.6) аналогична геометрической интерпретации отображения (2.2). При этом линия, описываемая точкой A , определяется дифференциальными уравнениями

$$\dot{K}_0(t): \omega^{\hat{\alpha}} = t^{\hat{\alpha}} \dot{\Theta}, \quad D\dot{\Theta} = \dot{\Theta} \wedge \dot{\Theta}_1,$$

а прямая $\dot{t} = (A, \vec{e}_{\hat{\alpha}} + B_{\hat{\alpha}\hat{\beta}}^{\hat{\alpha}} \vec{e}_{\hat{\beta}}) \dot{t}^{\hat{\alpha}}$ касается $\dot{K}_0(t)$ в точке A .

4. Гармонические и аналитические отображения f_{α}

В соответствии с [6. С. 75–76] и с учетом (2.3–2.6) и (3.5–3.7) получаем, что каждая из комплекснозначных функций будет дифференцируемой в соответствующей точке F_{ad} ($\alpha=1,2; F_{1d} \in L_2^1; F_{2d} \in L_2^1$) тогда и только тогда, когда координаты $(x^1, x^2) \Leftrightarrow z = x^1 + ix^2$ и $(y^{\hat{1}}, y^{\hat{2}}) \Leftrightarrow w = y^{\hat{1}} + iy^{\hat{2}}$ каждой из этих точек удовлетворяют системам, соответственно:

$$\begin{aligned} f_{1d}: L_2^1 \rightarrow L_2^1 \Rightarrow F_{1d}: \begin{cases} (B_{2\beta}^4 - B_{1\beta}^3) x^{\beta} = g_{02}, \\ (B_{2\beta}^3 + B_{1\beta}^4) x^{\beta} = -h_{02}; \end{cases} \\ f_{2d}: L_2^1 \rightarrow L_2^1 \Rightarrow F_{2d}: \begin{cases} (B_{4\hat{\beta}}^2 - B_{3\hat{\beta}}^1) y^{\hat{\beta}} = g_{04}, \\ (B_{4\hat{\beta}}^1 + B_{3\hat{\beta}}^2) y^{\hat{\beta}} = -h_{04}. \end{cases} \end{aligned} \quad (4.1)$$

Заметим, что дважды непрерывные функции $y = y(x^1, x^2)$ и $x = x(y^{\hat{1}}, y^{\hat{2}})$ в соответствующих точках плоскостей L_2^1 и L_2^1 будут гармоническими тогда и только тогда, когда

$$\frac{\partial^2 y}{(\partial x^1)^2} + \frac{\partial^2 y}{(\partial x^2)^2} = 0, \quad \frac{\partial^2 x}{(\partial y^{\hat{1}})^2} + \frac{\partial^2 x}{(\partial y^{\hat{2}})^2} = 0.$$

Поэтому каждая из систем функций (2.2) и (3.5) будет состоять из гармонических функций тогда и только тогда, когда

$$\begin{aligned} f_{1r}: L_2^1 \rightarrow L_2^1: B_{11}^{\hat{1}} + B_{22}^{\hat{2}} &= 0, \\ f_{2r}: L_2^1 \rightarrow L_2^1: B_{33}^{\hat{1}} + B_{44}^{\hat{2}} &= 0. \end{aligned} \quad (4.2)$$

Введем следующие определения.

Определение 4.1. Каждое из отображений f_{α} ($\alpha=1,2$), отвечающих точке $A \in E_4$, называется дифференцируе-

мым или d -отображением в соответствующей точке F_{ad} и обозначается f_{ad} , если определяющие их функции двух переменных дифференцируемы в этой точке.

Определение 4.2. Если отображения $f_1: L_2^1 \rightarrow L_2^1$, $f_2: L_2^1 \rightarrow L_2^1$ отвечающие точке $A \in E_4$, являются d -отображениями во всех точках плоскостей L_2^1 и L_2^1 , то они называются аналитическими отображениями и обозначаются f_{aa} ($\alpha=1,2$).

Определение 4.3. Отображения f_{α} ($\alpha=1,2$), отвечающие точке $A \in E_4$, называются гармоническими и обозначаются f_{ar} , если определяющие их функции двух переменных являются гармоническими.

Замечание 4.1. Символом $g_{\alpha} \rightarrow g_{as}$ будем обозначать отображение плоскостей L_2^1 и L_2^1 в каждой точке $A \in E_4$, которое является отображением g_{as} ($\alpha=1,2; s=d, a, r$) в смысле определений (4.1–4.3), соответственно.

Из определений (4.1–4.3) и в силу (4.1, 2.6, 3.3) и (3.4) следует, что каждое из соотношений определяют гармонические отображения f_{1r} , f_{2r} , соответственно, а соотношения

$$\begin{aligned} f_{1a}: B_{2\beta}^4 - B_{1\beta}^3 &= 0, \quad B_{2\beta}^3 + B_{1\beta}^4 = 0, \quad A_1^3 = A_2^4, \quad A_1^4 + A_2^3 = 0; \\ f_{2a}: B_{4\hat{\beta}}^2 - B_{3\hat{\beta}}^1 &= 0, \quad B_{4\hat{\beta}}^1 + B_{3\hat{\beta}}^2 = 0, \quad A_1^3 = A_2^4, \quad A_1^4 + A_2^3 = 0 \end{aligned} \quad (4.3)$$

определяют аналитические отображения f_{1a} , f_{2a} , соответственно.

Замечание 4.2. Из соотношений (4.3) вытекают, в частности соотношения (4.2), соответственно. Это, как и следовало ожидать, означает справедливость утверждения: $f_{\alpha} \rightarrow f_{aa} \Rightarrow f_{\alpha} \rightarrow f_{ar}$ ($\alpha=1,2$).

Определение 4.4. Многообразием $V_{2,2}^{ar}$ ($\alpha=1,2$; α – фиксировано) называется такое многообразие $V_{2,2}^{\alpha}$, у которого в каждом его элементе отображение f_{α} ($f_1: L_2^1 \rightarrow L_2^1$; $f_2: L_2^1 \rightarrow L_2^1$) является отображением f_{ar} в смысле определения (4.3): $f_{\alpha} \rightarrow f_{ar}$. Многообразием $V_{2,2}^{aa}$ называется такое многообразие $V_{2,2}^{\alpha}$, у которого в каждом его элементе отображение f_{α} ($f_1: L_2^1 \rightarrow L_2^1$; $f_2: L_2^1 \rightarrow L_2^1$) является отображением f_{aa} в смысле определения (4.2): $f_{\alpha} \rightarrow f_{aa}$. Многообразиями $V_{2,2}^{1a}$ и $V_{2,2}^{2r}$ называются многообразия вида:

$$\begin{aligned} V_{2,2}^{1a} &= V_{2,2}^{1a} \cup V_{2,2}^{2a}, \\ V_{2,2}^{2r} &= V_{2,2}^{1r} \cup V_{2,2}^{2r}. \end{aligned} \quad (4.4)$$

Замечание 4.3. Многообразие $V_{2,2}^{1a}$ определяется первой группой соотношений (4.3), а многообразие $V_{2,2}^{2a}$ – второй группой из соотношений (4.3). Поэтому многообразие $V_{2,2}^{1a}$ определяется одновременно первой и второй группами соотношений в (4.3).

5. Геометрические свойства отображений f_{ar}, f_{aa}

В этом пункте будут выяснены геометрические свойства всех отображений, о которых шла речь в предыдущих пунктах.

Найдем некоторые инвариантные геометрические образы, ассоциированные с многообразием $V_{2,2}^1$, которые дадут дополнительные геометрические результаты.

Если $\vec{X} = \vec{A} + x^{\alpha} \vec{e}_{\alpha}$ – радиус-вектор фокуса в плоскости L_2^1 в смысле [7] вдоль соответствующего фокального направления, то из

$$(d\bar{X}, \bar{e}_1, \bar{e}_2) = 0$$

с учетом (1.1, 1.4, 2.3) и (3.1–3.4) находим, что множество всех фокусов плоскости L_2^1 представляет собой конику K_2^{12} , определяемую в локальных координатах ортонормального репера R системой

$$K_2^{12} : (A_{\alpha 1}^4 A_{\beta 2}^4 - A_{\alpha 2}^4 A_{\beta 1}^4) x^\alpha x^\beta - a(B_{33}^1 + B_{44}^1) x^1 - a(B_{33}^2 + B_{44}^2) x^2 + a = 0, \quad x^{\hat{\alpha}} = 0. \quad (5.1)$$

Аналогичным образом получаются уравнения коники K_2^{34} :

$$K_2^{34} : (A_{\alpha 1}^4 A_{\beta 2}^4 - A_{\alpha 2}^4 A_{\beta 1}^4) x^{\hat{\alpha}} x^{\hat{\beta}} - (B_{11}^3 + B_{22}^3) x^3 - (B_{11}^4 + B_{22}^4) x^4 + 1 = 0, \quad x^\alpha = 0. \quad (5.2)$$

Пусть $\bar{Z}_1 = \bar{A} + \tau z_1^{\hat{\alpha}} \bar{e}_\alpha$ и $\bar{Z}_2 = \bar{A} + \tau z_2^{\hat{\alpha}} \bar{e}_\alpha$ – векторные параметрические уравнения прямых $z_1 \in L_1^1$ и $z_2 \in L_2^1$, проходящих через точку A , и имеющих направляющие векторы $\bar{z}_1 = z_1^{\hat{\alpha}} \bar{e}_\alpha$ и $\bar{z}_2 = z_2^{\hat{\alpha}} \bar{e}_\alpha$, соответственно. Тогда с учетом (2.2) и (3.5) в плоскостях L_1^1 и L_2^1 получаются следующие коники, отвечающие каждой из заданных прямых и определяемые соответствующими алгебраическими уравнениями:

$$F_1(z_2) = \{X(x^1; x^2) \in L_2^1 | f_1(X) \perp z_2\} \Leftrightarrow \\ \Leftrightarrow (z_2^3 A_\alpha^3 + z_2^4 A_\alpha^4) x^\alpha + \\ + (z_2^3 B_{\alpha\beta}^3 + z_2^4 B_{\alpha\beta}^4) x^\alpha x^\beta = 0, \quad x^{\hat{\alpha}} = 0; \quad (5.3)$$

$$F_2(z_1) = \{Y(y^3; y^4) \in L_2^2 | f_2(Y) \perp z_1\} \Leftrightarrow \\ \Leftrightarrow (z_1^1 B_\alpha^1 + z_1^2 B_\alpha^2) x^{\hat{\alpha}} + \\ + (z_1^1 B_{\alpha\hat{\beta}}^1 + z_1^2 B_{\alpha\hat{\beta}}^2) x^{\hat{\alpha}} x^{\hat{\beta}} = 0, \quad x^\alpha = 0. \quad (5.4)$$

Из (4.1–4.4) и (5.1–5.4) вытекает справедливость следующих утверждений.

Теорема 5.1. 1) $f_1 \rightarrow f_{1r} \Leftrightarrow A$ – центр коники $K_2^{34} \subset L_2^2$,
2) $f_2 \rightarrow f_{2r} \Leftrightarrow A$ – центр коники $K_2^{12} \subset L_2^1$,
3) $f_\alpha \rightarrow f_{\alpha r} \Leftrightarrow$ асимптотические направления коник $F_\alpha(z_\beta)$ ($\alpha, \beta = 1, 2$; $\alpha \neq \beta$) взаимно ортогональны в соответствующих плоскостях L_1^1 или L_2^1 .

Замечание 5.1. Из определения (4.4) и замечания (4.2) следует, что многообразие $V_{2,2}^{12a}$ является частным случаем соответствующего многообразия $V_{2,2}^{12r}$.

Замечание 5.2. Геометрические свойства многообразий $V_{2,2}^{12r}$ и $V_{2,2}^{12a}$ вытекают из теоремы 5.1 с учетом определения (4.4) и замечаний (4.2) и (5.1).

6. Существование многообразий $V_{2,2}^{12r}$, $V_{2,2}^{12a}$ и $V_{2,2}^{12a}$

Теорема 6.1. Каждое из многообразий $V_{2,2}^{12r}$, $V_{2,2}^{12a}$, $V_{2,2}^{12a}$ существует.

Доказательство. Из определения (4.4) с учетом (4.3) следует, что многообразие $V_{2,2}^{12a}$ характеризуется соотношениями:

$$B_{2\beta}^4 - B_{1\beta}^3 = 0, \quad B_{2\beta}^3 + B_{1\beta}^4 = 0, \quad A_1^4 + A_2^3 = 0, \\ A_1^4 = A_2^4, \quad B_{4\hat{\beta}}^2 - B_{3\hat{\beta}}^1 = 0, \quad B_{4\hat{\beta}}^1 + B_{3\hat{\beta}}^2 = 0, \quad (6.1)$$

($\alpha, \beta = 1, 2$; $\hat{\alpha}, \hat{\beta} = 3, 4$). Из (1.5) с учетом (1.4) получаем

$$dA_\alpha^{\hat{\alpha}} - A_\beta^{\hat{\alpha}} \omega_\alpha^\beta + A_\alpha^{\hat{\beta}} \omega_\beta^\alpha = \dot{A}_{\alpha\beta}^{\hat{\alpha}} \omega^\beta. \quad (6.2)$$

Проведем с учетом (6.2) и (6.1) такую канонизацию ортонормального репера R , при которой

$$A_1^4 = -A_2^3 = 0, \quad A_1^3 = A_2^4 \neq 0,$$

тогда из (6.2) получаем

$$\omega_1^2 - \omega_3^4 = \dot{g}_\alpha \omega^\alpha. \quad (6.3)$$

Поэтому в соответствии с [8] указанная канонизация репера R существует.

Обозначим $\dot{V}_{2,2}^{12a}$ – многообразие $V_{2,2}^{12a}$, на котором выполняются соотношения:

$$A_{\alpha\beta}^{\hat{\alpha}} = 0, \quad \dot{g}_\alpha = 0, \quad A_1^4 = -A_2^3 = 0, \quad A_1^3 = A_2^4 = 1, \quad (6.4)$$

которые с учетом (6.3) и (1.4) приводят к дифференциальным уравнениям:

$$\omega^3 = \omega^1, \quad \omega^4 = \omega^2, \quad \omega_\alpha^{\hat{\alpha}} = 0, \quad \omega_1^2 - \omega_3^4 = \omega_3^4 - \omega_2^1 = 0, \quad (6.5)$$

(по α не суммировать).

Из (1.1) следует, что дифференциальные уравнения (6.5) замкнуты относительно операции внешнего дифференцирования. Это означает, что многообразие $V_{2,2}^{12a}$, являющееся подклассом многообразий $V_{2,2}^{12a}$, существует. Поэтому многообразия $V_{2,2}^{12r}$, $V_{2,2}^{12a}$ и $V_{2,2}^{12a}$ существуют.

Теорема 6.1 доказана.

Замечание 6.1. Соотношения (6.1) тождественно выполняются с учетом (6.4), при этом неравенство (3.1) выполняется, поскольку в силу (6.4) $a=1$.

Замечание 6.2. В случае многообразия $\dot{V}_{2,2}^{12a}$ отображение $f_1: L_2^1 \rightarrow L_2^2$ в силу (2.2) и (6.4) определяется по формулам:

$$f_1: y^3 = x^1, \quad y^4 = x^2;$$

отсюда в силу (3.5) и (6.4) можно легко получить формулы, определяющие отображение $f_2: L_2^2 \rightarrow L_2^1$:

$$f_2: x^1 = y^3, \quad x^2 = y^4.$$

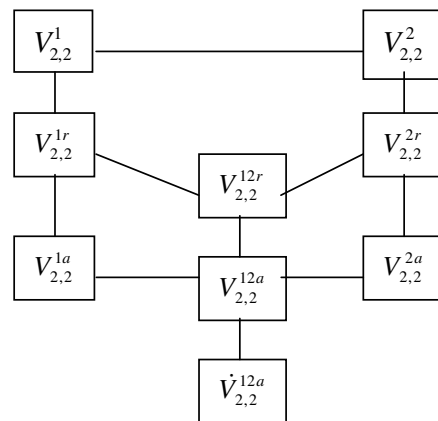


Рисунок. Классификация Коши-Римана многообразий $V_{2,2}^{\alpha}$

Замечание 6.3. Все построения в данной статье в силу (3.5) проведены в предположении, что из рассмотрения исключается случай

$$a \equiv A^3 A_2^4 - A^4 A_2^3 = 0 \Leftrightarrow \varpi^3 \wedge \varpi^4 = 0, \quad (6.6)$$

когда точка A принадлежит фокусной конике K_{12}^2 плоскости $L_2^\perp L_2^1$, а также случай $\hat{\varpi}^{\hat{\alpha}}=0$, когда плоскость L_2^1 касается поверхности S_2 , описываемой точкой A .

Замечание 6.4. В силу (6.6) или в случае, когда плоскость L_2^1 касается поверхности S_2 в точке A , отображение $f_2: L_2^2 \rightarrow L_2^1$ становится неопределенным.

Замечание 6.5. Из определения (4.4) и результатов данного пункта вытекает следующая схема взаимосвязи многообразий $V_{2,2}^{2r}$, $V_{2,2}^{12r}$, $V_{2,2}^{aa}$, $V_{2,2}^{12a}$ и $V_{2,2}^{12a}$ (рисунок).

Замечание 6.6. Классификацию многообразий $V_{2,2}^{12a}$, указанную на рисунке, будем называть **классификацией Коши-Римана**.

Замечание 6.7. Результаты, изложенные в данной статье для двумерного семейства центрированных плоскостей в четырехмерном евклидовом пространстве, является ответом на замечание в [1, С. 9].

СПИСОК ЛИТЕРАТУРЫ

1. Ивлев Е.Т., Глазырина Е.Д. О двумерном многообразии центрированных 2-плоскостей в многомерном евклидовом пространстве // Известия Томского политехнического университета. — 2003. — Т. 306. — № 4. — С. 5–9.
2. Норден А.П. Пространства аффинной связности. — М.: Наука, 1976. — 432 с.
3. Евтушик Л.Е., Лумисте Ю.Г., Остиану Н.М., Широков А.П. Дифференциально-геометрические структуры на многообразиях // Проблемы геометрии. Итоги науки и техники. — М.: ВИНТИ АН СССР, 1979. — С. 7–246.
4. Лаптев Г.Ф. Дифференциальная геометрия погруженных многообразий // Труды Московского математического общества. — М., 1953. — Т. 2. — С. 275–382.
5. Фиников С.П. Метод внешних форм Картана в дифференциальной геометрии. — М.: ГИТТЛ, 1948. — 432 с.
6. Александров И.А. Теория функций комплексного переменного. — Томск: Томский гос. ун-т, 2002. — 510 с.
7. Аквис М.А. Фокальные образы поверхностей ранга // Известия вузов. Сер. Математика. — 1957. — № 1. — С. 9–19.
8. Остиану Н.М. О канонизации подвижного репера погруженного многообразия // Rev. math. pures et appl. (RNR). — 1962. — № 2. — Р. 231–240.